

## II-77 橋脚の抗力係数について

建設省土木研究所

正員

土屋 昭彦

山口大学 工学部

正員

○ 浦 勝

### I. 考えかた

一般に流体中に置かれた物体の受けた抗力は次式の形で表わされる。

$$F_D = \frac{1}{2} \rho C_D A_D U^2 \quad (1)$$

ところで、橋脚のように自由水面を持つ流れの中に置かれた物体の受けた抗力は、主として後流域に渦を生ずることによつて受けた形状抗力；

$$F_f = \frac{1}{2} \rho C_f A_f U^2 \quad (2)$$

と、自由水面に波を造ることによつて受けた造波抗力；

$$F_w = \frac{1}{2} \rho C_w A_w U^2 \quad (3)$$

の2種類の性質の異なる力が合成されたものであり、橋脚の全抗力は、

$$F_D = F_f + F_w \quad (4)$$

と考えよ。ここで  $A_D = A_f = H \cdot \Delta$ ,  $A_w = H \cdot l$  ( $H$ :水深,  $\Delta$ :橋脚幅,  $l$ :橋脚長) とすれば、式-(1), (2), (3), (4) から 各抗力係数の間に、

$$C_D = C_f + \frac{l}{H} C_w \quad (5)$$

の関係がある。したがつて橋脚の全抗力係数  $C_D$  の特性は形状抗力係数  $C_f$  やおよび造波抗力係数  $C_w$  を検討することによつて明らかとなるであろう。

**II. 実験の方法** 表-1 に示す5種の模型橋脚を長さ20m, 幅1.98m, 水深0.45m のモルタル仕上面の水路に流れ方向に回転できるように hinge を持つ装置によつてつねり、橋脚の流水による微小な回転量を非接触型抗線計を用いて測定した。さうに橋脚の自由水面に生ずる波の影響を受けない、いわゆる形状抗力を測定した。これは図-1 に示すように、完全に水中に潜つた下部橋脚がこれとは独立に支持されたブリキ製の上部橋脚の中を通じ支持棒で直角に連結されてゐる。以下、抗力の算定においては測定、前後に分鋼を用いて検定を行つて橋脚の浮力による影響も除去した。

### III. 実験結果

抗力と平均流速との関係の一例を図-2 に示す。これはB型橋脚について行なつた全抗力と形状抗力の実測値である。形状抗力は流速の1.8乗に比例してほぼ一様に増加するが、全抗力は流速が大きくなるとこれから離れて流速の2.3乗、3乗と急激に大きくなる。この全抗力と形状抗力との差が造波抗力と考えられる。つきに全抗力係数  $C_D$  および形状抗力係数  $C_f$  と Reynolds 数との関係を図-3 に示す。これらB型橋脚について見れば、形状抗力係数は隣円柱の風洞実験結果と同様 Reynolds 数とともに単調に減少する。一方

橋脚形状		記号
A		X
B		①
B(s)		②
C		③
D		△
円柱		○

表-1

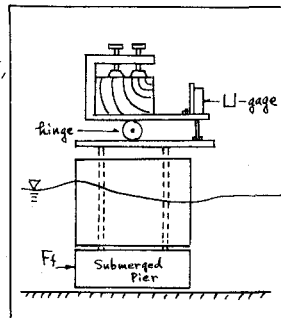


図-1

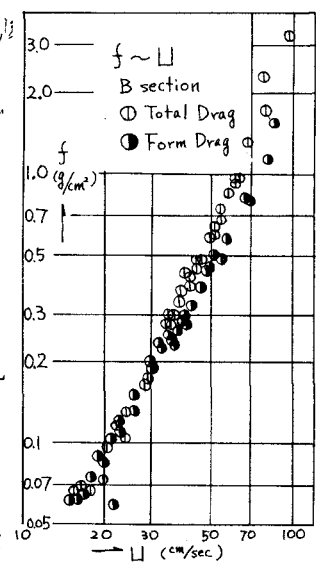


図-2

$C_D$  は  $C_f$  や  $C_w$  から離れて直線的に増加する。これから、一般に形状抗力係数  $C_f$  は物体の形状によって Reynolds 数の関数として定まるが、全抗力係数  $C_D$  は Reynolds 数の関数として定まるといえる。

開水路中の橋脚の抗力は、すでに述べたように造波抗力を含むことから Froude 数が他の境界条件と同様重要な因子となる。全抗力係数と Froude 数との関係を図-4 に示す。A, B, D 型の抗力係数は  $Fr=0.2$  近傍で多少ばらつくが  $Fr < 0.6$  まではほぼ Froude 数に無関係な一定値となる。 $C_{DA}=0.3$ ,  $C_{DB}=0.5$ ,  $C_{DD}=0.4$  となる。 $Fr > 0.6$  になると抗力係数

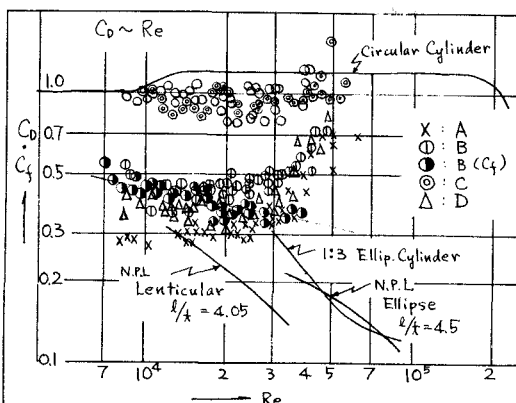


図-3

は増加する傾向にある。円柱および C 型の抗力係数は Froude 数の低い所でもかなりのばらつきがあるが、全体として Froude 数とともに増加する。この円柱の全抗力係数は水深の大小によらずもので、水深をパラメータとすればよく整理することができる。この円柱に関する Hsieh<sup>2)</sup> の実験値とよく一致する。しかし円柱以外の橋脚、抗力係数に關して水深の影響を明らかにすることはできなかった。橋脚間隔  $S$  が小さくなると  $C_D$  は増加する。つぎに B 型橋脚について測定した  $F_D$  より  $F_f$  や  $F_w$  を求め、式-(3)を用いて計算した造波抗力係数  $C_w$  と Froude 数の関係を図-5 に示す。これより B 型の造波抗力係数  $C_w$  は  $Fr < 1.0$  の範囲で Froude 数の 2 番に比例する曲線となり振動して増加する傾向にあるといえよう。A, D および円柱型橋脚についても同様の傾向が見出されたが、詳細な考察はまだ行っていない。

IV まとめ 橋脚の抗力係数  $C_D$  は式-(5)で表わされ、各形状ごとに Reynolds 数の関数である  $C_f$  と Froude 数の関数である  $C_w$  および相対水深  $H/l$  によって定まる。また橋脚間隔  $S$  と  $C_D$  の支配方程式となる。以上橋脚の抗力係数のオーダーと支配方程式について概略を述べることができたが、 $C_f$ ,  $C_w = -V^2$  により広範な実験と詳しい解析を加えることか今後の課題である。

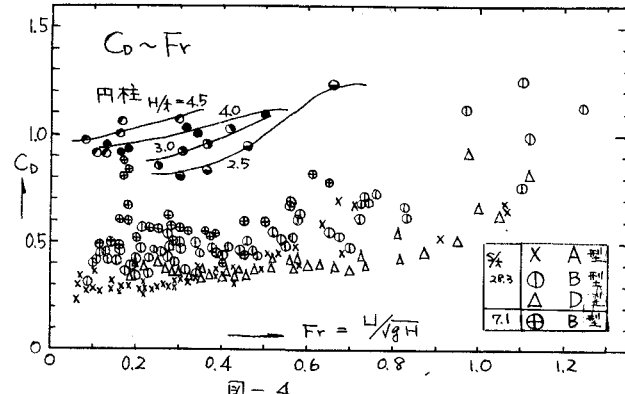


図-4

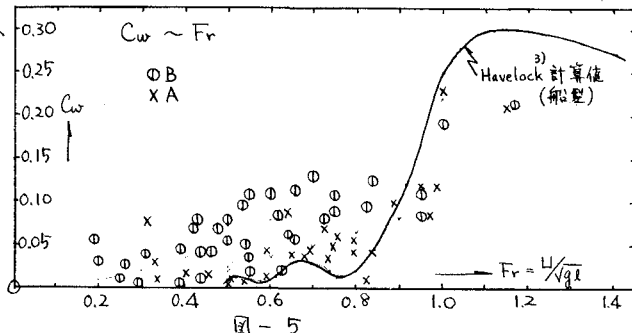


図-5

- 1) S.Goldstein: Modern developments in Fluid dynamics, II
- 2) T.Hsieh: Resistance of cylindrical piers in open-channel flow, Proc. A.S.C.E. HYI, Jan. 1964.
- 3) T.H. Havelock: Studies in water resistance; Proc. Roy. Soc. S.A. 1923